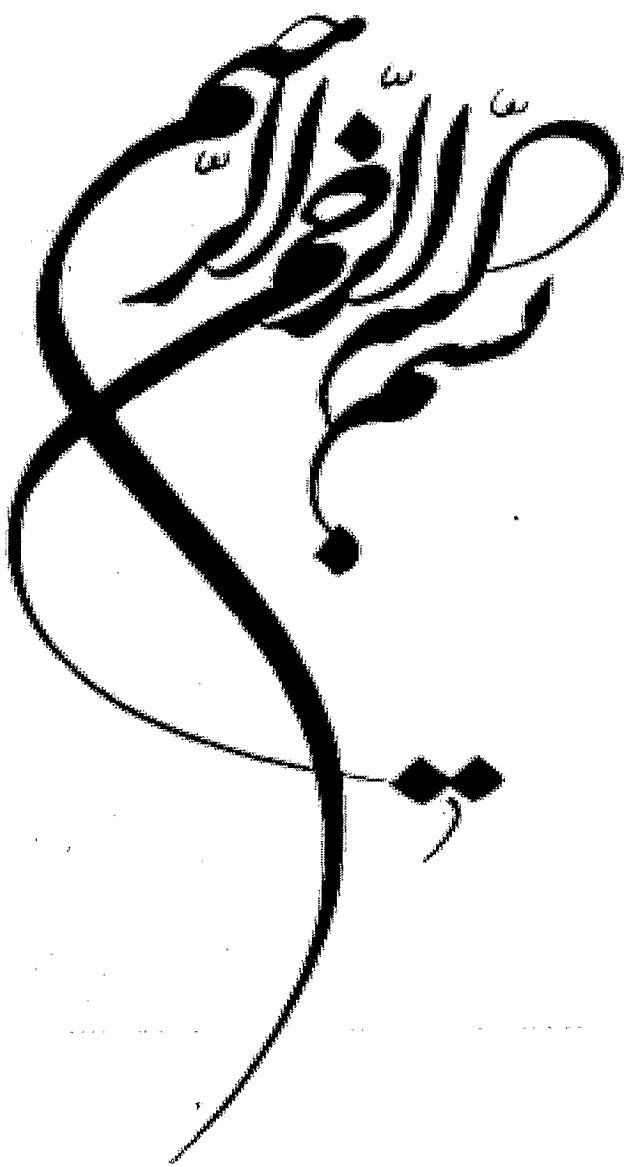


K 3000



110.49



دانشگاه اصفهان

دانشکده علوم

گروه شیمی

پایان نامه‌ی کارشناسی ارشد رشته‌ی شیمی گرایش معدنی

ستتر کمپلکس‌های باز شیف منگنز، مس، کبالت و آهن

استادان راهنما:

دکتر ولی‌الله میرخانی

دکتر شهرام تنگستانی نژاد

استادان مشاور:

دکتر مجید مقدم

دکتر ایرج محمدپور

پژوهشگر:

زهره نادعلیان

۱۳۸۸ / ۲ / ۲

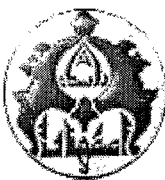
اتصالات مارک سلیمان
رشته مارک

شهریور ماه ۱۳۸۷

۱۱۵۰۴۹

کلیه حقوق مادی مترتب بر نتایج مطالعات، ابتكارات
و نوآوری های ناشی از تحقیق موضوع این پایان نامه
متعلق به دانشگاه اصفهان است.

پایان نامه
گلارسکس پایان نامه
روایت شده است
تضمیلات تکمیلی دانشگاه اصفهان



دانشگاه اصفهان
دانشکده علوم
گروه شیمی

پایان نامه کارشناسی ارشد رشته شیمی گرایش معدنی خانم زهرا نادعلیان
تحت عنوان

سنتر کمپلکس‌های باز شیف منگنز، مس، کبالت و آهن

در تاریخ ۱۳۸۷/۶/۲۵ توسط هیأت داوران زیر بررسی و با درجهی عالی به تصویب نهایی رسید.

۱- استادان راهنمای پایان نامه: دکتر ولی الله میرخانی با مرتبهی علمی دانشیار

دکتر شهرام تنگستانی نژاد با مرتبهی علمی استاد

۲- استادان مشاور پایان نامه: دکتر مجید مقدم با مرتبهی علمی دانشیار

دکتر ایرج محمدپور بلترک با مرتبهی علمی استاد

۳- استاد داور داخل گروه: دکتر بهرام یداللهی با مرتبهی علمی استادیار

۴- استاد داور خارج از گروه: دکتر حسین دهقانی با مرتبهی علمی دانشیار

امضا مدیر گروه

الهی من لی غیرک

معبودا

می دانم هر قطره اشک، امضای توست پای چشم‌هایی که آسمان در آن‌ها خلاصه شده است، می‌دانم هیچ‌کس آنقدر فقیر نیست که نتواند لبخندی به کسی ببخشد و هیچ‌کس آنقدر ثروتمند نیست که به لبخندی نیاز نداشته باشد.

تنها توبی که حق محبت را تمام و کمال ادا می‌کنی، به من هم الفبای محبت بیاموز.

بوسه می‌زنم بر دستان پدر و مادرم، فرشتگانی که با بودن شان، بودنم معنا گرفت و تمام هستی‌ام را به پاس یک عمر صبوری، تقدیم نگاه مهربان شان خواهم کرد.

سپاس و تشکر استادان بزرگواری را که جرعه‌نوش دریای بیکران فرهیختگی و دانش ایشان بودم، بالاخص

مراتب سپاس خویش را از استاد ارجمند راهنما جناب آقای دکتر میرخانی که سرمایه‌ی گرانبهای عمر و زندگی خود را به من آموختند و همواره مساعدت‌های بی‌دریغ و لطف بی‌شایه ایشان قرین لحظه‌هایم بوده‌ایم بارز می‌دارم. همچنین از لطف و همکاری ارزنده‌ی جناب آقای دکتر تنگستانی نژاد کمال سپاس و تشکر را دارم. از جناب آقایان دکتر مقدم و دکتر محمدپور که در امر مشاوره، اصلاح و بهبود روش‌ها، توصیه‌های لازم را ارائه نمودند، تشکر و قدردانی می‌نمایم. از استاد گرانقدر جناب آقای دکتر دهقانی و استاد گرانمایه جناب آقای دکتر یداللهی، اساتید محترم مدعو، به خاطر مطالعه‌ی این پایان‌نامه و ارائه راهنمایی‌های ارزنده سپاسگزارم.

سپاس و درود بی‌دریغ من نشار عزیزترین دوستانم، خانم‌ها بخشایش، میخک، دیانت، حسینی، شبستری، ساعدي و تمام کسانی که مرا در انجام این رساله یاری داده‌اند.

بادها که می‌وزند، گلبرگ‌های گل سرخ را با خود می‌برند، اما آن‌ها هرگز فراموش نمی‌شوند حتی اگر بادها طوفان شوند و گلبرگ‌ها خاطراتا

تقدیم به پدر و مادر عزیزم

تا بدانند بدون آنها بودنم

بی معناست

چکیده

بازهای شیف و کمپلکس‌های آن‌ها به دلیل داشتن خواص کاتالیزوری، و نیز به عنوان مدلی جهت بررسی ساختار، ماهیت و عملکرد آنزیم‌ها در سیستم‌های بیولوژیکی، مورد توجه شیمیدانان قرار گرفته‌اند. لذا سنتز و بررسی ویژگی‌های ساختاری و اسپکتروسکوپی آن‌ها در شیمی کوئردناسیون مورد توجه می‌باشد. در سال‌های اخیر کمپلکس‌های دوهسته‌ای از اهمیت زیادی برخوردار شده‌اند که این اهمیت از مدل‌سازی این سیستم‌های چند فلزی به عنوان بیومولکول‌های فلزی ناشی می‌شود. در این تحقیق، ما تعدادی از کمپلکس‌های دوهسته‌ای فلزات منگنز(II)، مس(II)، کبالت(II) و آهن(II) را سنتز کردیم. در این راستا، لیگاندهای ماکروسیکل اسپیرو تتراسالیسیل آلدھید (L') و اسپیرو تترا-۵-نیتروسالیسیل آلدھید (L") سنتز و خالص‌سازی گردیدند و با استفاده از تکنیک‌های طیف‌سنجدی مادون قرمز، ماوراء بنفش- مرئی، روزنائس مغناطیسی هسته پروتون و طیف‌سنجدی جرمی و آنالیز عنصری مورد شناسایی قرار گرفتند. در ادامه، کمپلکس‌های منگنز(II)، مس(II)، کبالت(II) و آهن(II) از لیگاندهای ماکروسیکل N_2O_2 و N_3O_2 (L' و L") سنتز و خالص‌سازی شد و با استفاده از تکنیک‌های طیف‌سنجدی مادون قرمز، ماوراء بنفش- مرئی مورد بررسی و شناسایی قرار گرفتند. در ادامه این تحقیق، رفتار حرارتی کمپلکس‌های سنتز شده، با استفاده از آنالیز حرارتی بررسی گردید.

کلید واژه‌ها: بازهای شیف، کمپلکس‌های دوهسته‌ای، لیگاند اسپیرو

فهرست مطالب

صفحه	عنوان
	فصل اول مقدمه و تئوري
۱	۱-۱- مقدمه.....۱
۲	۱-۲- پيوند در ترکيبات کورديناسيون.....۱
۲	۱-۲-۱- نظريه پيوند ظرفيت(VBT).....۱
۲	۱-۲-۲- نظريه ميدان بلور(CFT).....۱
۳	۱-۲-۳- نظريه ميدان ليگاند(LFT).....۱
۴	۱-۲-۴- نظريه اوربيتال مولکولي(MOT).....۱
۴	۱-۳- انواع بازهای شيف.....۱
۴	۱-۳-۱- بازهای شيف دو دندانهای.....۱
۵	۱-۳-۲- بازهای شيف سه دندانهای.....۱
۵	۱-۳-۳- بازهای شيف چهار دندانهای.....۱
۶	۱-۴- اثر تمپلت.....۱
۷	۱-۴-۱- اثر سينتيكي تمپلت.....۱
۸	۱-۴-۲- اثر ترموديناميكي تمپلت.....۱
۹	۱-۴-۳- اثر تمپلت مثبت و منفي.....۱
۱۰	۱-۴-۴- عوامل موثر بر يك واكنش تمپلت.....۱
۱۰	۱-۴-۵-۱- اثر کورديناسيون ليگاند.....۱
۱۰	۱-۴-۵-۲- اثر كيليت.....۱
۱۰	۱-۴-۵-۳- اثر ماكروسيكل.....۱
۱۲	۱-۵- روش های سنتز ليگاندهای ماكروسيكل.....۱
۱۲	۱-۵-۱- واكنش های آلکيلاسيون.....۱
۱۳	۱-۵-۲- تراكم شيف.....۱
۱۴	۱-۵-۳-۱- ماكروسيكل های دی ايمين.....۱
۱۴	۱-۵-۳-۲-۱- تراكم مونو كربونيل آليفاتيك و دی آمين.....۱
۱۵	۱-۵-۳-۲-۱-۲- استفاده از كربونيل اksamيد و دی آمين.....۱

عنوان

صفحه

۱۶	-۳-۱-۲-۵-۱ دی کربونیل و دی آمین.....
۱۷	-۴-۱-۲-۵-۱ ماکروسیکل دی ایمین دارای اکسیژن فسفر و گوگرد به عنوان دهنده.....
۱۷	-۲-۲-۵-۱ ماکروسیکل های تترا ایمین.....
۱۷	-۱-۲-۲-۵-۱ ماکروسیکل های تترا ایمین با عامل کربونیلی آلیفاتیک.....
۱۹	-۲-۲-۵-۱ ماکروسیکل های تترا ایمین با عامل کربونیلی غیر اشبع و آروماتیک.....
۱۹	-۳-۲-۵-۱ ماکروسیکل دارای زنجیر جانبی.....
۱۹	-۳-۵-۱ تراکم مانیخ.....
۲۰	-۱-۳-۵-۱ تراکم مانیخ برای تهیه لیگاندهای ماکروسیکل.....
۲۱	-۱-۲-۳-۵-۱ ماکروسیکل های تقویت شده.....
۲۲	-۱-۴-۵-۱ خودتراکمی نیتریل ها.....
۲۳	-۱-۶-۱ کمپلکس های دو هسته ای ماکروسیکل.....
۲۷	-۱-۶-۱ سنتز کمپلکس های دو هسته ای با استفاده از تراکم شیف.....
۲۷	-۱-۶-۱ پیش ماده دهنده N_2O
۳۷	-۱-۶-۱ پیش ماده دهنده N_2S
۳۸	-۱-۶-۱ سنتز کمپلکس های دو هسته ای با استفاده از تراکم مانیخ.....
۳۸	-۱-۷-۱ بیس(ماکروسیکل ها).....
۳۹	-۱-۷-۱ بیس(ماکروسیکل ها) با پل N-R-N.....
۴۱	-۱-۷-۱ بیس(ماکروسیکل ها) با پل C-R-C.....
۴۲	-۱-۷-۱ بیس(ماکروسیکل ها) اسپیرو.....
۴۲	-۱-۸-۱ اهمیت و کاربرد ماکروسیکل ها.....
۴۲	-۱-۸-۱ لیگاند ماکروسیکل برای استخراج یون های فلزی و ساخت الکترودهای یون گزین.....
۴۳	-۱-۸-۱ لیگاند ماکروسیکل برای حفاظت از خوردگی فلزات.....
۴۴	-۱-۸-۱ کاربرد لیگاند ماکروسیکل به عنوان دارو و مصارف پزشکی.....
۴۵	-۱-۸-۱ ماکروسیکل ها برای پایدار کردن حالت اکسایش بالای فلزات.....
۴۵	-۱-۸-۱ لیگاند ماکروسیکل به عنوان کاتالیزور.....
۴۵	-۱-۹-۱ هدف از این تحقیق.....

عنوان

صفحه

فصل دوم بخش تجربی

۱-۲- معرفه‌ها و مواد مورد استفاده.....	۴۶
۲-۲- دستگاه‌های مورد استفاده.....	۴۷
۲-۲-۱- دستگاه طیف‌سنج رزونانس مغناطیسیس هسته (NMR).....	۴۷
۲-۲-۲- طیف‌سنج مادون قرمز (IR).....	۴۷
۲-۲-۳- طیف‌سنج مادون قرمز تبدیل فوریه (FT-IR).....	۴۷
۲-۲-۴- طیف‌سنج ماوراء بنفش- مرئی (UV-vis).....	۴۷
۲-۲-۵- دستگاه اندازه‌گیری وزن‌سنجی حرارتی (TG-DTG).....	۴۷
۲-۲-۶- دستگاه آنالیز عنصری (CHN).....	۴۷
۲-۲-۷- دستگاه تعیین نقطه ذوب (mp).....	۴۸
۲-۲-۸- دستگاه تعیین مغناطیسی پذیری.....	۴۸
۲-۲-۹- دستگاه جذب اتمی.....	۴۸
۲-۲-۱۰- همزن مغناطیسی.....	۴۸
۲-۳- سنتز لیگاندها و کمپلکس‌ها.....	۴۹
۲-۳-۱- سنتز لیگاندها.....	۴۹
۲-۳-۱-۱- سنتز لیگاند اسپیرو ترا سالیسیل آلدهید (L').....	۴۹
۲-۳-۱-۲- سنتز لیگاند اسپیرو ترا ۵- نیترو سالیسیل آلدهید (L").....	۵۰
۲-۳-۲- سنتز کمپلکس‌ها.....	۵۱
۲-۳-۲-۱- سنتز کمپلکس [Mn ₂ (L' ₁)](CH ₃ COO) ₄	۵۱
۲-۳-۲-۲- سنتز کمپلکس [Mn ₂ (L' ₂)](CH ₃ COO) ₄	۵۲
۲-۳-۲-۳- سنتز کمپلکس [Mn ₂ (L' ₃)](CH ₃ COO) ₄	۵۳
۲-۳-۴- سنتز کمپلکس [Cu ₂ (L' ₁)](CH ₃ COO) ₄	۵۴
۲-۳-۵- سنتز کمپلکس [Cu ₂ (L' ₂)](CH ₃ COO) ₄	۵۵
۲-۳-۶- سنتز کمپلکس [Cu ₂ (L' ₃)](CH ₃ COO) ₄	۵۶
۲-۳-۷- سنتز کمپلکس [Mn ₂ (L" ₁)](CH ₃ COO) ₄	۵۷
۲-۳-۸- سنتز کمپلکس [Mn ₂ (L" ₂)](CH ₃ COO) ₄	۵۸
۲-۳-۹- سنتز کمپلکس [Mn ₂ (L" ₃)](CH ₃ COO) ₄	۵۹

عنوان

صفحه

٦٠	سنتز کمپلکس $[Cu_2(L''_1)](CH_3COO)_4$ - ۱۰-۲-۳-۲
٦١	سنتز کمپلکس $[Cu_2(L''_2)](CH_3COO)_4$ - ۱۱-۲-۳-۲
٦٢	سنتز کمپلکس $[Cu_2(L''_3)](CH_3COO)_4$ - ۱۲-۲-۳-۲
٦٣	سنتز کمپلکس $[Co_2(L''_1)](CH_3COO)_4$ - ۱۳-۲-۳-۲
٦٤	سنتز کمپلکس $[Co_2(L''_2)](CH_3COO)_4$ - ۱۴-۲-۳-۲
٦٥	سنتز کمپلکس $[Co_2(L''_3)](CH_3COO)_4$ - ۱۵-۲-۳-۲
٦٦	سنتز کمپلکس $[Fe_2(L''_1)](Cl)_4$ - ۱۶-۲-۳-۲
٦٧	سنتز کمپلکس $[Fe_2(L''_2)](Cl)_4$ - ۱۷-۲-۳-۲
٦٨	سنتز کمپلکس $[Fe_2(L''_3)](Cl)_4$ - ۱۸-۲-۳-۲

فصل سوم بحث و نتیجه گیری

٦٩	- مقدمه ۱-۳
٧١	سنتز لیگاندها ۲-۳
٧١	- ۱-۲-۳ سنتز اسپیرو تراسالیسیل آلدید (L')
٧٤	- ۲-۲-۳ سنتز لیگاند اسپیرو تترا ۵- نیترو سالیسیل آلدید (L)
٧٦	- ۳-۳ سنتز کمپلکس ها
٧٦	- ۱-۳-۳ سنتز کمپلکس $[Mn_2(L'_1)](CH_3COO)_4$
٧٨	- ۲-۳-۳ سنتز کمپلکس $[Mn_2(L'_2)](CH_3COO)_4$
٨٠	- ۳-۳-۳ سنتز کمپلکس $[Mn_2(L'_3)](CH_3COO)_4$
٨٢	- ۴-۳-۳ سنتز کمپلکس $[Cu_2(L'_1)](CH_3COO)_4$
٨٤	- ۵-۳-۳ سنتز کمپلکس $[Cu_2(L'_2)](CH_3COO)_4$
٨٦	- ۶-۳-۳ سنتز کمپلکس $[Cu_2(L'_3)](CH_3COO)_4$
٨٨	- ۷-۳-۳ سنتز کمپلکس $[Mn_2(L''_1)](CH_3COO)_4$
٩٠	- ۸-۳-۳ سنتز کمپلکس $[Mn_2(L''_2)](CH_3COO)_4$
٩٢	- ۹-۳-۳ سنتز کمپلکس $[Mn_2(L''_3)](CH_3COO)_4$
٩٤	- ۱۰-۳-۳ سنتز کمپلکس $[Cu_2(L''_1)](CH_3COO)_4$

صفحه

عنوان

۹۶	- سنتز کمپلکس $[Cu_2(L'')_2](CH_3COO)_4$	۱۱-۳-۳
۹۸	- سنتز کمپلکس $[Cu_2(L'')_3](CH_3COO)_4$	۱۲-۳-۳
۱۰۰	- سنتز کمپلکس $[Co_2(L'')_1](CH_3COO)_4$	۱۳-۳-۳
۱۰۲	- سنتز کمپلکس $[Co_2(L'')_2](CH_3COO)_4$	۱۴-۳-۳
۱۰۴	- سنتز کمپلکس $[Co_2(L'')_3](CH_3COO)_4$	۱۵-۳-۳
۱۰۶	- سنتز کمپلکس $[Fe_2(L'')_1](Cl)_4$	۱۶-۳-۳
۱۰۸	- سنتز کمپلکس $[Fe_2(L'')_2](Cl)_4$	۱۷-۳-۳
۱۱۰	- سنتز کمپلکس $[Fe_2(L'')_3](Cl)_4$	۱۸-۳-۳
۱۱۲	- اندازه‌گیری یون‌های فلزی با استفاده از روش جذب اتمی	۱-۴-۳
۱۱۲	- اندازه‌گیری یون منگنز	۱-۴-۳
۱۱۳	- اندازه‌گیری یون مس	۲-۴-۳
۱۱۴	- اندازه‌گیری یون کبات	۳-۴-۳
۱۱۵	- اندازه‌گیری یون آهن	۴-۴-۳
۱۱۶	- نتیجه‌گیری	۵-۳
۱۱۶	- آینده نگری	۶-۳
۱۱۷	پیوست	
۱۴۹	منابع و مأخذ	

فهرست شکل‌ها

عنوان		صفحه
شکل ۱-۱- شکافتگی پنج اوربیتال d اتم مرکزی در میدان‌های مختلف.....	۳	
شکل ۱-۲- کمپلکس‌های Zn و Yb با لیگاندهای بازشیف دودندانهای.....	۴	
شکل ۱-۳- باز شیف حاصل از پیریدوکسال فسفات و آمینواسیدها.....	۵	
شکل ۱-۴- بازهای شیف چهار دندانه با پل مرکزی اتیلن دی آمین.....	۶	
شکل ۱-۵- اثر سینتیکی تمپلت.....	۷	
شکل ۱-۶- اثر سینتیکی تمپلت در سنتز کمپلکس مسطح مربع.....	۸	
شکل ۱-۷- اثر ترمودینامیکی تمپلت.....	۸	
شکل ۱-۸- اثر تمپلت منفی.....	۹	
شکل ۱-۹- برخی از دی‌آمین‌های موثر در اثر کیلیت.....	۱۰	
شکل ۱-۱۰- پایداری بیشتر کمپلکس (I) نسبت به کمپلکس (II) به علت اثر ماکروسیکل.....	۱۱	
شکل ۱-۱۱- آلکیلاسیون اتم نیتروژن.....	۱۳	
شکل ۱-۱۲- آلکیلاسیون اتم گوگرد.....	۱۳	
شکل ۱-۱۳- کمپلکس سنتز شده توسط کورتیس.....	۱۴	
شکل ۱-۱۴- لیگاند ماکروسیکل حاوی اتیلن دی آمین، سنتز شده از تراکم دی‌آمین با مونوکربونیلی آلیفاتیک.....	۱۵	
شکل ۱-۱۵- سنتز کمپلکس ماکروسیکل نیکل (II) ۱۵ عضوی.....	۱۵	
شکل ۱-۱۶- ساختار برخی از دی‌کربونیل‌های آروماتیک.....	۱۶	
شکل ۱-۱۷- ساختار برخی از دی‌کربونیل‌های آلیفاتیک.....	۱۶	
شکل ۱-۱۸- ماکروسیکل‌های سنتز شده توسط بوش و کری.....	۱۶	
شکل ۱-۱۹- سنتز ماکروسیکل دی‌ایمین دارای اکسیژن، فسفر و گوگرد.....	۱۷	
شکل ۱-۲۰- کمپلکس‌های مس (II) دی‌ایمین ۱۲- عضوی با دهنده‌های N ₄ , N ₂ O ₂ , N ₂ S ₂	۱۷	
شکل ۱-۲۱- ساختار ماکرسیکل ۱۴ عضوی حاصل از تراکم ۲ و ۳- بوتان دی‌ان با ۱ و ۳- دی‌آمینو پروپان.....	۱۸	
شکل ۱-۲۲- ماکروسیکل تترا ایمین ۱۲ عضوی.....	۱۸	
شکل ۱-۲۳- ماکروسیکل حاصل از واکنش خودتراکمی اورتو-آمینو بنزآلدهید.....	۱۹	

عنوان

صفحه

..... ۲۰ شکل ۱-۲۴- تراکم مانیخ
..... ۲۰ شکل ۱-۲۵- لیگاند های غیر حلقوی سنتز شده به روش تراکم مانیخ
..... ۲۱ شکل ۱-۲۶- ساختار ماکروسیکل تقویتی سنتز شده توسط واین رایت
..... ۲۲ شکل ۱-۲۷- سنتز لیگاند ماکروسیکل دارای حلقه تقویتی به روش آلکیلاسیون
..... ۲۲ شکل ۱-۲۸- سنتز ماکروسیکل ها به روش خود تراکمی نیتریل ها
..... ۲۴ شکل ۱-۲۹- لیگاند های دوهسته ای سنتز شده
..... ۲۵ شکل ۱-۳۰- لیگاند دوهسته ای خطی ساده
..... ۲۵ شکل ۱-۳۱- لیگاند دوهسته ای با بازوی سه شاخه
..... ۲۶ شکل ۱-۳۲- لیگاند دوهسته ای دو شاخه ای
..... ۲۶ شکل ۱-۳۳- لیگاند دوهسته ای با پل انعطاف پذیر
..... ۲۷ شکل ۱-۳۴- لیگاند های دوهسته ای با انعطاف پذیری کم
..... ۲۸ شکل ۱-۳۵- کمپلکس دوهسته ای مسطح سنتز شده به روش شیف و با پیش ماده دهنده N_2O
..... ۲۸ شکل ۱-۳۶- کمپلکس دوهسته ای با فلزات مرکزی مس (II) و نیکل (II)
..... ۲۹ شکل ۱-۳۷- کمپلکس دوهسته ای مس (II) و نیکل (II) با لیگاند های باز شیف تهیه شده از واکنش نیم مول ترکیبات ۱-۴ با اگزالیل کلرید
..... ۳۰ شکل ۱-۳۸- سنتز کمپلکس دوهسته ای با فرمول ساختاری $[Mn(\mu\text{-}3,5\text{-Br}_2\text{C}_6\text{H}_3)(\mu\text{-O})]_{2.2}\text{DMF}$
..... ۳۱ شکل ۱-۳۹- کمپلکس های دوهسته ای از فلز مس (II) با فرمول ساختاری $[\text{Cu}_2(\text{Hf}_2\text{O}_2)_2(\text{H}_2\text{O})_2](\text{ClO}_4)$
..... ۳۲ شکل ۱-۴۰- سنتز کمپلکس های دوهسته ای از فلز مس (II) با فرمول ساختاری $[\text{Cu}_2\text{L}^{1a-e}(\text{ClO}_4)]\text{ClO}_4$
..... ۳۳ شکل ۱-۴۱- کمپلکس دوهسته ای سنتز شده حاوی یک محل شش دندانه ای (N_4O_2) و یک محل چهار دندانه ای (N_2O_2)
..... ۳۳ شکل ۱-۴۲- سنتز کمپلکس دوهسته ای هترو با فرمول ساختاری $[\text{LCu}(\text{Me}_2\text{-CO})\text{Gd}(\text{NO}_3)_3]$
..... ۳۴ شکل ۱-۴۳- کمپلکس های دوهسته ای به فرم های مونومری و پلیمری از لیگاند های باز شیف مشتق شده از ۶- فرمیل کلین و دی آمین های آروماتیک با یون های فلزی کبالت (II)، مس (II) و نیکل (II)
..... ۳۵ شکل ۱-۴۴- سنتز کمپلکس دوهسته ای از فلز منگنز با فرمول ساختاری $[\text{Mn}_2(\text{L})(\text{N}_3)_6]$
..... ۳۶ شکل ۱-۴۵- ساختار لیگاند های باز شیف H_2L_6 و H_4L_6

عنوان

صفحه

شکل ۱-۴۶- سنتز کمپلکس دوهسته‌ای با فرمول ساختاری $MnML'Cl_x.yH_2O$	۳۶
شکل ۱-۴۷- سنتز کمپلکس دوهسته‌ای با فرمول ساختاری $[Cu_2(ClO_4)_2L][ClO_4]_2.H_2O$	۳۷
شکل ۱-۴۸- کمپلکس دوهسته‌ای سنتز شده به روش تراکم شیف و با پیش ماده دهنده N_2S	۳۷
شکل ۱-۴۹- ماکروسیکل‌های دوهسته‌ای سنتز شده به روش تراکم مانیخ	۳۸
شکل ۱-۵۰- بیس ماکروسیکل سنتزی توسط لامپکا و روسکا	۳۸
شکل ۱-۵۱- بیس اکروسیکل ۱۰- عضوی با پل $N-R-N$	۳۹
شکل ۱-۵۲- بیس ماکروسیکل سنتز شده توسط سوبینت	۴۰
شکل ۱-۵۳- کمپلکس‌های دو هسته‌ای با فرمول $[(L)Fe(\mu\text{-bpy})Fe(L)](BPh_4)_2$	۴۰
شکل ۱-۵۴- بیس (ماکروسیکل) مس (II) با پل $-N-CH_2-N-$	۴۰
شکل ۱-۵۵- بیس (ماکروسیکل) نیکل (II) با استفاده از روش تراکم شیف	۴۱
شکل ۱-۵۶- بیس (ماکروسیکل) با پل $C-R-C$	۴۱
شکل ۱-۵۷- بیس (ماکروسیکل) اسپیرو	۴۲
شکل ۱-۵۸- لیگاند ماکروسیکل استفاده شده برای جداسازی یون‌های فلزی سنگین	۴۲
شکل ۱-۵۹- لیگاندهای ماکروسیکل با خاصیت گزینش‌پذیری	۴۳
شکل ۱-۶۰- لیگاندهای ماکروسیکل با کاربرد حفاظت از خوردگی فلزات	۴۳
شکل ۱-۶۱- بیس (ماکروسیکل‌ها) با خاصیت ضد ویروس، ضدباکتری و ضد قارچ	۴۴
شکل ۱-۶۲- بیس (ماکروسیکل) پلی آزا با کاربرد دارویی	۴۴
شکل ۱-۲- سنتز لیگاند اسپیرو تترا سالیسیل آلدهید (I)	۴۹
شکل ۲-۲- سنتز تترا ۵-نیترو سالیسیل آلدهید (I')	۵۰
شکل ۲-۳- سنتز کمپلکس $^4[Mn_2(L'_1)](CH_3COO)_4$	۵۱
شکل ۲-۴- سنتز کمپلکس $^4[Mn_2(L'_2)](CH_3COO)_4$	۵۲
شکل ۲-۵- سنتز کمپلکس $^4[Mn_2(L'_3)](CH_3COO)_4$	۵۳
شکل ۲-۶- سنتز کمپلکس $^4[Cu_2(L'_1)](CH_3COO)_4$	۵۴
شکل ۲-۷- سنتز کمپلکس $^4[Cu_2(L'_2)](CH_3COO)_4$	۵۵
شکل ۲-۸- سنتز کمپلکس $^4[Cu_2(L'_3)](CH_3COO)_4$	۵۶
شکل ۲-۹- سنتز کمپلکس $^4[Mn_2(L''_1)](CH_3COO)_4$	۵۷
شکل ۲-۱۰- سنتز کمپلکس $^4[Mn_2(L''_2)](CH_3COO)_4$	۵۸

عنوان

صفحة

شكل ١١-٢ - سنتز کمپلکس $[Mn_2(L''_3)](CH_3COO)_4$	٥٩
شكل ١٢-٢ - سنتز کمپلکس $[Cu_2(L''_1)](CH_3COO)_4$	٦٠
شكل ١٣-٢ - سنتز کمپلکس $[Cu_2(L''_2)](CH_3COO)_4$	٦١
شكل ١٤-٢ - سنتز کمپلکس $[Cu_2(L''_3)](CH_3COO)_4$	٦٢
شكل ١٥-٢ - سنتز کمپلکس $[Co_2(L''_1)](CH_3COO)_4$	٦٣
شكل ١٦-٢ - سنتز کمپلکس $[Co_2(L''_2)](CH_3COO)_4$	٦٤
شكل ١٧-٢ - سنتز کمپلکس $[Co_2(L''_3)](CH_3COO)_4$	٦٥
شكل ١٨-٢ - سنتز کمپلکس $[Fe_2(L''_1)](Cl)_4$	٦٦
شكل ١٩-٢ - سنتز کمپلکس $[Fe_2(L''_2)](Cl)_4$	٦٧
شكل ٢٠-٢ - سنتز کمپلکس $[Fe_2(L''_3)](Cl)_4$	٦٨
شكل ٢-٣ - ساختار لیگاند L'	٧١
شكل ٢-٣ - ساختار لیگاند L''	٧٤
شكل ٣-٣ - ساختار کمپلکس $[Mn_2(L'_1)](CH_3COO)_4$	٧٦
شكل ٣-٣ - ساختار کمپلکس $[Mn_2(L'_2)](CH_3COO)_4$	٧٨
شكل ٣-٣ - ساختار کمپلکس $[Mn_2(L'_3)](CH_3COO)_4$	٨٠
شكل ٣-٤-٣ - ساختار کمپلکس $[Cu_2(L'_1)](CH_3COO)_4$	٨٢
شكل ٣-٤-٣ - ساختار کمپلکس $[Cu_2(L'_2)](CH_3COO)_4$	٨٤
شكل ٣-٤-٣ - ساختار کمپلکس $[Cu_2(L'_3)](CH_3COO)_4$	٨٦
شكل ٣-٩-٣ - ساختار کمپلکس $[Mn_2(L''_1)](CH_3COO)_4$	٨٨
شكل ٣-١٠-٣ - ساختار کمپلکس $[Mn_2(L''_2)](CH_3COO)_4$	٩٠
شكل ٣-١١-٣ - ساختار کمپلکس $[Mn_2(L''_3)](CH_3COO)_4$	٩٢
شكل ٣-١٢-٣ - ساختار کمپلکس $[Cu_2(L''_1)](CH_3COO)_4$	٩٤
شكل ٣-١٣-٣ - ساختار کمپلکس $[Cu_2(L''_2)](CH_3COO)_4$	٩٦
شكل ٣-١٤-٣ - ساختار کمپلکس $[Cu_2(L''_3)](CH_3COO)_4$	٩٨
شكل ٣-١٥-٣ - ساختار کمپلکس $[Co_2(L''_1)](CH_3COO)_4$	١٠٠
شكل ٣-١٦-٣ - ساختار کمپلکس $[Co_2(L''_2)](CH_3COO)_4$	١٠٢
شكل ٣-١٧-٣ - ساختار کمپلکس $[Co_2(L''_3)](CH_3COO)_4$	١٠٤

عنوان

صفحه

١٠٦	شكل ٣-١٨- ساختار كمپلکس $[Fe_2(L''_1)](Cl)_4$
١٠٨	شكل ٣-١٩- ساختار كمپلکس $[Fe_2(L''_2)](Cl)_4$
١١٠	شكل ٣-٢٠- ساختار كمپلکس $[Fe_2(L''_3)](Cl)_4$
١١٧	شكل پ-١-١- طيف IR ليگاند 'L'
١١٧	شكل پ-١-٢- طيف IR ليگاند "L"
١١٨	شكل پ-١-٣- طيف IR كمپلکس $[Mn_2(L'_1)](CH_3COO)_4$
١١٨	شكل پ-١-٤- طيف FT-IR كمپلکس $[Mn_2(L'_2)](CH_3COO)_4$
١١٩	شكل پ-١-٥- طيف IR كمپلکس $[Mn_2(L'_3)](CH_3COO)_4$
١١٩	شكل پ-١-٦- طيف FT-IR كمپلکس $[Cu_2(L'_1)](CH_3COO)_4$
١٢٠	شكل پ-١-٧- طيف FT-IR كمپلکس $[Cu_2(L'_2)](CH_3COO)_4$
١٢٠	شكل پ-١-٨- طيف FT-IR كمپلکس $[Cu_2(L'_3)](CH_3COO)_4$
١٢١	شكل پ-١-٩- طيف FT-IR كمپلکس $[Mn_2(L''_1)](CH_3COO)_4$
١٢١	شكل پ-١-١٠- طيف FT-IR كمپلکس $[Mn_2(L''_2)](CH_3COO)_4$
١٢٢	شكل پ-١-١١- طيف FT-IR كمپلکس $[Mn_2(L''_3)](CH_3COO)_4$
١٢٢	شكل پ-١-١٢- طيف FT-IR كمپلکس $[Cu_2(L''_1)](CH_3COO)_4$
١٢٣	شكل پ-١-١٣- طيف FT-IR كمپلکس $[Cu_2(L''_2)](CH_3COO)_4$
١٢٣	شكل پ-١-١٤- طيف FT-IR كمپلکس $[Cu_2(L''_3)](CH_3COO)_4$
١٢٤	شكل پ-١-١٥- طيف FT-IR كمپلکس $[Co_2(L''_1)](CH_3COO)_4$
١٢٤	شكل پ-١-١٦- طيف FT-IR كمپلکس $[Co_2(L''_2)](CH_3COO)_4$
١٢٥	شكل پ-١-١٧- طيف FT-IR كمپلکس $[Co_2(L''_3)](CH_3COO)_4$
١٢٥	شكل پ-١-١٨- طيف FT-IR كمپلکس $[Fe_2(L''_1)](Cl)_4$
١٢٦	شكل پ-١-١٩- طيف FT-IR كمپلکس $[Fe_2(L''_2)](Cl)_4$
١٢٦	شكل پ-١-٢٠- طيف FT-IR كمپلکس $[Fe_2(L''_3)](Cl)_4$
١٢٧	شكل پ-٢-١- طيف UV-Vis ليگاند 'L'
١٢٧	شكل پ-٢-٢- طيف UV-Vis ليگاند "L"
١٢٨	شكل پ-٣-٢- طيف UV-Vis كمپلکس $[Mn_2(L'_1)](CH_3COO)_4$
١٢٨	شكل پ-٤-٢- طيف UV-Vis كمپلکس $[Mn_2(L'_2)](CH_3COO)_4$

عنوان

صفحة

شكل پ-۵-۲- طيف UV-Vis كمپلکس [Mn ₂ (L' ₃)](CH ₃ COO) ₄	۱۲۹
شكل پ-۶-۲- طيف UV-Vis كمپلکس [Cu ₂ (L' ₁)](CH ₃ COO) ₄	۱۲۹
شكل پ-۷-۲- طيف UV-Vis كمپلکس [Cu ₂ (L' ₂)](CH ₃ COO) ₄	۱۳۰
شكل پ-۸-۲- طيف UV-Vis كمپلکس [Cu ₂ (L' ₃)](CH ₃ COO) ₄	۱۳۰
شكل پ-۹-۲- طيف UV-Vis كمپلکس [Mn ₂ (L" ₁)](CH ₃ COO) ₄	۱۳۱
شكل پ-۱۰-۲- طيف UV-Vis كمپلکس [Mn ₂ (L" ₂)](CH ₃ COO) ₄	۱۳۱
شكل پ-۱۱-۲- طيف UV-Vis كمپلکس [Mn ₂ (L" ₃)](CH ₃ COO) ₄	۱۳۲
شكل پ-۱۲-۲- طيف UV-Vis كمپلکس [Cu ₂ (L" ₁)](CH ₃ COO) ₄	۱۳۲
شكل پ-۱۳-۲- طيف UV-Vis كمپلکس [Cu ₂ (L" ₂)](CH ₃ COO) ₄	۱۳۳
شكل پ-۱۴-۲- طيف UV-Vis كمپلکس [Cu ₂ (L" ₃)](CH ₃ COO) ₄	۱۳۳
شكل پ-۱۵-۲- طيف UV-Vis كمپلکس [Co ₂ (L" ₁)](CH ₃ COO) ₄	۱۳۴
شكل پ-۱۶-۲- طيف UV-Vis كمپلکس [Co ₂ (L" ₂)](CH ₃ COO) ₄	۱۳۴
شكل پ-۱۷-۲- طيف UV-Vis كمپلکس [Co ₂ (L" ₃)](CH ₃ COO) ₄	۱۳۵
شكل پ-۱۸-۲- طيف UV-Vis كمپلکس [Fe ₂ (L" ₁)](Cl) ₄	۱۳۵
شكل پ-۱۹-۲- طيف UV-Vis كمپلکس [Fe ₂ (L" ₂)](Cl) ₄	۱۳۶
شكل پ-۲۰-۲- طيف UV-Vis كمپلکس [Fe ₂ (L" ₃)](Cl) ₄	۱۳۶
شكل پ-۱-۳- طيف ¹ HNMR ليگاند L'	۱۳۷
شكل پ-۱-۴- طيف Mass ليگاند L'	۱۳۸
شكل پ-۲-۴- طيف Mass ليگاند L"	۱۳۹
شكل پ-۵-۱- منحنى TG-DTG كمپلکس [Mn ₂ (L' ₁)](CH ₃ COO) ₄	۱۴۰
شكل پ-۵-۲- منحنى TG-DTG كمپلکس [Mn ₂ (L' ₂)](CH ₃ COO) ₄	۱۴۰
شكل پ-۵-۳- منحنى TG-DTG كمپلکس [Mn ₂ (L' ₃)](CH ₃ COO) ₄	۱۴۱
شكل پ-۵-۴- منحنى TG-DTG كمپلکس [Cu ₂ (L' ₁)](CH ₃ COO) ₄	۱۴۱
شكل پ-۵-۵- منحنى TG-DTG كمپلکس [Cu ₂ (L' ₂)](CH ₃ COO) ₄	۱۴۲
شكل پ-۵-۶- منحنى TG-DTG كمپلکس [Cu ₂ (L' ₃)](CH ₃ COO) ₄	۱۴۲
شكل پ-۷-۵- منحنى TG-DTG كمپلکس [Mn ₂ (L" ₁)](CH ₃ COO) ₄	۱۴۳
شكل پ-۸-۵- منحنى TG-DTG كمپلکس [Mn ₂ (L" ₂)](CH ₃ COO) ₄	۱۴۳

عنوان

صفحة

- شکل پ-۹-۵- منحنی TG-DTG کمپلکس $[Mn_2(L''_3)](CH_3COO)_4$ ۱۴۴
- شکل پ-۱۰-۵- منحنی TG-DTG کمپلکس $[Cu_2(L''_1)](CH_3COO)_4$ ۱۴۴
- شکل پ-۱۱-۵- منحنی TG-DTG کمپلکس $[Cu_2(L''_2)](CH_3COO)_4$ ۱۴۵
- شکل پ-۱۲-۵- منحنی TG-DTG کمپلکس $[Cu_2(L''_3)](CH_3COO)_4$ ۱۴۵
- شکل پ-۱۳-۵- منحنی TG-DTG کمپلکس $[Co_2(L''_1)](CH_3COO)_4$ ۱۴۶
- شکل پ-۱۴-۵- منحنی TG-DTG کمپلکس $[Co_2(L''_2)](CH_3COO)_4$ ۱۴۶
- شکل پ-۱۵-۵- منحنی TG-DTG کمپلکس $[Co_2(L''_3)](CH_3COO)_4$ ۱۴۷
- شکل پ-۱۶-۵- منحنی TG-DTG کمپلکس $[Fe_2(L''_1)](Cl)_4$ ۱۴۷
- شکل پ-۱۷-۵- منحنی TG-DTG کمپلکس $[Fe_2(L''_2)](Cl)_4$ ۱۴۸
- شکل پ-۱۸-۵- منحنی TG-DTG کمپلکس $[Fe_2(L''_3)](Cl)_4$ ۱۴۸

فهرست جدول‌ها

عنوان	صفحه
جدول ۳-۱-۲- فرکانس و شیوه های ارتعاشی مهم لیگاند 'L.....	۷۴
جدول ۳-۲- داده‌های آنالیز عنصری لیگاند 'L.....	۷۳
جدول ۳-۳- فرکانس و شیوه های ارتعاشی مهم لیگاند "L.....	۷۴
جدول ۳-۴- داده‌های آنالیز عنصری لیگاند "L.....	۷۵
جدول ۳-۵- داده‌های بهدست آمده از روش جذب اتمی برای کمپلکس‌های سنتز شده منگنز	۱۱۲
جدول ۳-۶- داده‌های بهدست آمده از روش جذب اتمی برای کمپلکس‌های سنتز شده مس	۱۱۳
جدول ۳-۷- داده‌های بهدست آمده از روش جذب اتمی برای کمپلکس‌های سنتز شده کبالت.....	۱۱۴
جدول ۳-۸- داده‌های بهدست آمده از روش جذب اتمی برای کمپلکس‌های سنتز شده آهن.....	۱۱۵